

## МЕТОДЫ И АЛГОРИТМЫ УСКОРЕНИЯ ВЫЧИСЛЕНИЙ В НЕСИММЕТРИЧНЫХ ПРЕОБРАЗОВАНИЯХ НА ЭЛЛИПТИЧЕСКИХ КРИВЫХ

### 1. Введение

В настоящее время предложено множество алгоритмов несимметричных криптографических преобразований. Их стойкость основана на сложности решения некоторой математической задачи. Широко известны два класса задач криптоанализа: факторизация и нахождение дискретного логарифма в поле  $GF(p)$ . В течение последних 5 лет проводятся исследования третьего класса несимметричных преобразований – преобразования на эллиптических кривых [1,2].

Эллиптическая кривая  $E$  над полем  $Z_p$ , где  $p$  – простое,  $p > 3$ , определяется уравнением

$$y^2 = x^3 + ax + b, \quad (1)$$

где  $a, b \in Z_p$ ,  $4a^3 + 27b^2 \not\equiv 0 \pmod{p}$ . Множество точек на кривой  $E(Z_p)$  состоит из всех точек  $(x, y)$ ;  $x, y \in Z_p$ , удовлетворяющих (1). В множество  $E(Z_p)$  также включается нулевая точка, обозначаемая как  $0$ .

Для точек эллиптической кривой определим операцию сложения, удовлетворяющую следующим свойствам:

1.  $P+0 = 0+P = P$  для  $\forall P \in E(GF(p))$
2. Для любой точки  $P = (x, y)$ ,  $P \in E(GF(p))$ , существует точка  $Q = (x, -y)$ ,  $Q \in E(GF(p))$ , такая, что  $P+Q = 0$ . Точка  $Q$  называется обратным элементом по отношению к  $P$  и обозначается как  $(-P)$ .
3. Для любых точек  $P, Q \in E(GF(p))$  существует точка  $R = P+Q$ ;  $R \in E(GF(p))$ .

Определим также операцию скалярного умножения точки на число. Пусть  $P \in E(GF(p))$ ,  $c \in N$ , тогда  $c \times P = \underbrace{P + P + \dots + P}_{c \text{ раз}}$ .

Таким образом, множество  $E(GF(p))$ , на котором определена операция сложения, образует абелеву группу.

### 2. Алгоритмы сложения на эллиптической кривой

Существует 2 способа внутреннего (машинного) представления точек эллиптической кривой – аффинные координаты и проективные координаты.

Аффинные координаты – пара чисел  $(x, y)$ , удовлетворяющая уравнению кривой (1). Точка  $0$  не имеет аффинных координат, но для вычислений может быть представлена как пара чисел, не удовлетворяющих (1):  $(0, 0)$  при  $b \neq 0$ ,  $(0, 1)$  при  $b = 0$ . Заметим, что при известном значении  $x$  можно из (1) вычислить  $y$ , поэтому точку можно однозначно представить как  $(x, y')$ , где  $y' = y \pmod{2}$ .

Алгоритм 1. Сложение точек в аффинном представлении.

Вход:  $P = (X_1, Y_1)$ ,  $Q = (X_2, Y_2)$ ,  $P \neq Q$ .

Выход:  $R = P+Q = (X_3, Y_3)$ .

$$1. L := \frac{X_2 - X_1}{Y_2 - Y_1}.$$

$$2. X_3 := L^2 - X_1 - X_2.$$

$$3. Y_3 := L(X_1 - X_3) - Y_1.$$

Алгоритм 2. Удвоение точек в аффинном представлении.

Вход:  $P = (X_1, Y_1)$ .

Выход:  $R = P+P = (X_3, Y_3)$ .

$$1. L := \frac{3X_1^2 + a_1}{2Y_1}.$$

$$2. X_3 := L^2 - 2X_1.$$

$$3. Y_3 := L(X_1 - X_3) - Y_1.$$

Вычислительную сложность сложения точек можно оценить как

$$I_1(l) = 2I_{mul}(l) + I_{sqr}(l) + I_{inv}(l) + 6I_{add}(l),$$

где  $l$  – длина числа  $p$  в словах;

$I_{mul}(l)$  – вычислительная сложность умножения в поле  $GF(p)$ ;

$I_{sqr}(l)$  – вычислительная сложность возведения в квадрат в  $GF(p)$ ;

$I_{inv}(l)$  – вычислительная сложность нахождения обратного элемента в  $GF(p)$ ;

$I_{add}(l)$  – вычислительная сложность сложения и вычитания в  $GF(p)$ .

Вычислительная сложность удвоения точки (т.е. сложения  $P+P$ ) оценивается как

$$I_2(l) = 2I_{mul}(l) + 2I_{sqr}(l) + I_{inv}(l) + 5I_{add}(l).$$

Проективные координаты – числа  $(X, Y, Z)$  такие, что  $x = X/Z^2$ ,  $y = Y/Z^3$ . Точка 0 имеет координаты  $(\lambda^2, \lambda^3, 0)$ , где  $\lambda$  – произвольное ненулевое число. Проективные координаты не являются однозначными, т.к.  $(X, Y, Z) = (\lambda^2 X, \lambda^3 Y, \lambda Z)$ .

Алгоритм 3. Сложение точек в проективном представлении.

Вход:  $P = (X_0, Y_0, Z_0)$ ,  $Q = (X_1, Y_1, Z_1)$ ,  $P \neq Q$ .

Выход:  $R = P+Q = (X_2, Y_2, Z_2)$ .

Если  $P = Q$ , алгоритм дает результат  $(0, 0, 0)$ .

$$1. L_1 := X_0 Z_1^2 - X_1 Z_0^2$$

$$2. L_2 := Y_0 Z_1^3 - Y_1 Z_0^3$$

$$3. L_3 := X_0 Z_1^2 + X_1 Z_0^2$$

$$4. L_4 := Y_0 Z_1^3 + Y_1 Z_0^3$$

$$5. Z_2 := Z_0 Z_1 L_1$$

$$6. X_2 := L_2^2 - L_3 L_1^2$$

$$7. Y_2 := ((L_3 L_1^2 - 2X_2) L_2 - L_4 L_1^3) / 2$$

Вычислительную сложность сложения точек можно оценить как

$$I_3(l) = 12I_{mul}(l) + 4I_{sqr}(l) + 10,5I_{add}(l).$$

Алгоритм 4. Удвоение точки в проективном представлении.

Вход:  $P = (X_1, Y_1, Z_1)$ .

Выход:  $R = P+P = (X_2, Y_2, Z_2)$ .

$$1. L_1 := 3X_1^2 + aZ_1^4$$

$$2. Z_2 := 2Y_1 Z_1$$

$$3. L_2 := 4X_1 Y_1^2$$

$$4. X_2 := L_1^2 - 2L_2$$

$$5. Y_2 := L_1(L_2 - X_2) - 8Y_1^4$$

Вычислительная сложность удвоения точки оценивается как

$$I_4(l) = 4I_{mul}(l) + 6I_{sqr}(l) + 12I_{add}(l).$$

Отметим, что для ускорения выполнения описанных алгоритмов целесообразно применить арифметику Монтгомери [3]. Используя численные значения сложности операций арифметики многократной разрядности, полученные в [4], определим оценки сложности операций на эллиптической кривой при программной реализации:

$$I_1(l) = 5,3l^3 + 74l^2 + 124l$$

$$I_2(l) = 5,3l^3 + 88l^2 + 144l$$

$$I_3(l) = 260l^2 + 379l$$

$$I_4(l) = 152l^2 + 316l$$

Для сравнения построим графики полученных зависимостей (рис. 1, 2).

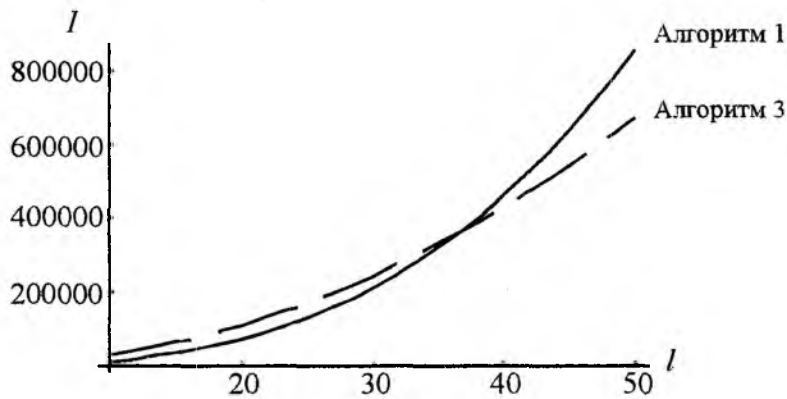


Рис.1

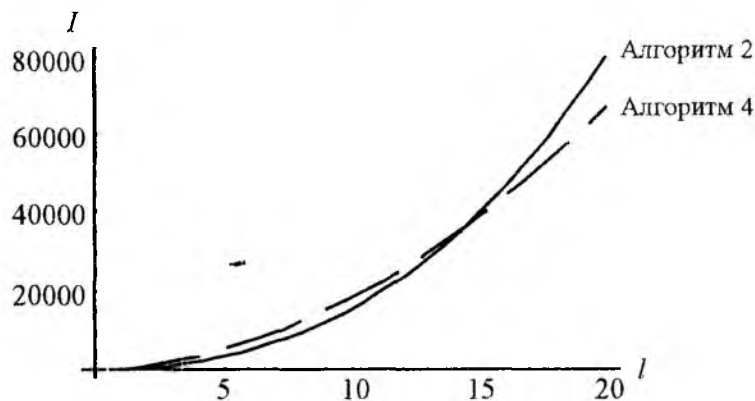


Рис.2

Очевидно, что для достаточно больших значений  $l$   $I_3 < I_1$ ,  $I_4 < I_2$ , т.е. в проективном представлении операции выполняются быстрее.

### 3. Алгоритмы скалярного умножения на эллиптической кривой

Для выполнения скалярного умножения  $a \times P$  можно применить алгоритмы, аналогичные алгоритмам модульного возведения в степень – бинарного [4] и блочного [4,5].

Алгоритм 5. Бинарное скалярное умножение на эллиптической кривой.

Исходные данные: число  $c \neq 0$ , точка  $P$ , эллиптическая кривая  $E = \langle a, b, p \rangle$ .

Результат: точка  $Q = c \times P$ .

1. Если  $c=1$ , то  $Q := P$ ; закончить работу алгоритма.
2.  $k := l_c - 2$ ;  $Q := P$ .
3. Для  $i$ , принимающего значения от  $k$  до 0, выполнить шаги 4-5.
4.  $Q := Q + Q$ .
5. Если  $i$ -й бит  $c$  равен 1, то  $Q := Q + P$ .
6. Закончить работу алгоритма.

Вычислительная сложность бинарного алгоритма составляет

$$I_{bin}(l_p, L_c) \approx L_c(I_{edbl}(l_p) + \rho I_{eadd}(l_p)), \quad (2)$$

где  $L_c$  – длина числа  $c$  в битах;

$\rho$  – доля единичных бит в числе  $c$ .

При  $L_c = bl_p$ , где  $b$  – размер слова в битах, выражение (2) примет вид

$$I_{bin} = (260\rho + 152)bl_p^3 + (379\rho + 316)bl_p^2 \quad (3)$$

Алгоритм 6. Блочное скалярное умножение на эллиптической кривой.

Исходные данные: число  $c \neq 0$ , точка  $P$ , эллиптическая кривая  $E = \langle a, b, p \rangle$ .

Результат: точка  $Q = c \times P$ .

В алгоритме используется вспомогательная таблица  $R[2^{d_{\max}}]$ .

В тексте алгоритма будут использоваться следующие обозначения [5]:

**getblock**( $c, j$ ) – операция выделения очередного блока из числа  $c$ , начиная с  $j$ -го бита;

**end**( $C$ ) – номер бита в числе  $c$ , на котором заканчивается блок  $C$ .

1. Если  $c = 1$ , то  $Q := P$ ; закончить работу алгоритма.

2. Вычислить  $R[i] = i \times P$  для всех нечетных  $i < 2^m$ .

3.  $k := 1$ ;  $Q := 1$ .

4. Выделить блок:  $C := \text{getblock}(c, 1)$ .

5. Для  $k$ , принимающего значения от 1 до  $l_c$ , выполнить шаги 6-8.

6.  $Q := Q + C$

7. Если  $k = \text{end}(C)$  и  $C \neq 0$ , то:  $Q := Q + R[C]$ ;

8. Если  $k = \text{end}(C)$ , то  $C := \text{getblock}(c, k+1)$ .

9. Закончить работу алгоритма.

Вычислительная сложность блочного алгоритма оценивается как:

$$I_{bl}(l_p, L_c) \approx I_{eadd}(l_p)(2^{d_{\max}-1} + \mu(L_c) + 1) + L_c I_{edbl}(l_p), \quad (4)$$

где  $d_{\max}$  – максимальная длина блока;

$\mu(L_c)$  – среднее количество блоков в числе  $c$ .

В [4] показано, что  $\mu(L_c) = \frac{L_c}{2^{1-d_{\max}} + d_{\max}}$ . Определим, при каком значении  $d_{\max}$  функция (4) дости-

гает минимума. Функцию (4) можно представить в виде суперпозиции двух функций:  $I_{bl} = f(g(d_{\max}))$ , где  $f(x) = x I_{eadd}(l_p) + (L_c - 1) I_{edbl}(l_p)$ ;  $g(d_{\max}) = 2^{d_{\max}-1} + \frac{L_c}{2^{1-d_{\max}} + d_{\max}} + 1$ .

Т.к.  $f(x)$  – монотонно возрастающая функция, то значение  $d_{\max}$ , при котором функция  $g(x)$  достигнет минимума, будет являться искомым значением  $d_0$ . Построив таблицу значений  $g(x)$  для некоторых часто используемых длин показателя, найдем  $d_0$  (см. табл. 1).

Таблица 1

x	$L_c$			
	160	192	224	256
3	54,2	64,1	73,9	83,8
4	47,8	55,5	63,3	71,1
5	48,6	54,9	61,2	67,6
6	59,5	64,8	70,1	75,4
7	87,8	92,4	96,9	101
$d_0$	4	5	5	5

Далее определим, при какой длине показателя степени блочный алгоритм скалярного умножения получает преимущество по быстродействию перед бинарным.

Используя (2) и (4), оценим выигрыш алгоритма 6 по сравнению с алгоритмом 5:

$$\Delta I = I_{bin}(l_p, L_c) - I_{bl}(l_p, L_c) = I_{eadd}(l_p)(\rho(L_c - 1) - 2^{d_{\max}-1} - \frac{L_c}{2^{1-d_{\max}} + d_{\max}} - 1). \quad (5)$$

Требуется найти значение  $L_c$ , при котором (5) обращается в 0.

Пусть  $f(x) = \rho(x - 1) - 2^{d_{\max}-1} - \frac{x}{2^{1-d_{\max}} + d_{\max}} - 1$ . Тогда искомое значение  $L(Y)$  совпадает с корнем

уравнения  $f(x) = 0$ .

При  $\rho = 0,5$  и  $d_{max} = 5$  (см. табл. 1) это уравнение имеет корень  $x_0 \approx 57,8$ , следовательно, при  $L_c \geq 58$  бит блочный алгоритм быстрее бинарного.

В алгоритме проверки цифровой подписи Эль-Гамала на эллиптических кривых (например, ECDSA), встречается выражение вида  $Q = a_1 \times P_1 + a_2 \times P_2$ . Для ускоренного вычисления таких выражений можно использовать параллельный блочный алгоритм [4, 5].

**Алгоритм 7.** Параллельное блочное умножение на эллиптической кривой.

Исходные данные: числа  $c_i$ , точки  $P_i$ ;  $i = \overline{1, k}$ ; эллиптическая кривая  $E = \langle a, b, p \rangle$ .

Результат: точка  $Q = c_1 \times P_1 + c_2 \times P_2 + \dots + c_k \times P_k$ .

В алгоритме используется вспомогательная таблица  $R[2^{d_{max}}, k]$ .

1.  $m := (\max L(Y_i)) - 1$ ;  $Q := 0$ .

2. Дополнить все  $c_i$  слева нулями до длины  $m$  бит.

3. Заполнение таблицы  $R$ :

$$R[i, j] := \begin{cases} 0; & j \bmod 2 = 0 \\ j \times P_i; & j \bmod 2 = 1 \end{cases}; \quad i = \overline{1, k}; \quad j = \overline{1, 2^{d_{max}} - 1}$$

4. Выделить блоки:  $C_i := \text{getblock}(c_i, 1)$ ,  $i = \overline{1, k}$ .

5. Для  $j$ , принимающего значения от 1 до  $m$ , выполнить шаги 6-7.

6.  $Q := Q + Q$ .

7. Для  $i$ , принимающего значения от 1 до  $k$ , выполнить шаги 8-9.

8. Если  $j = \text{end}(C_i)$  и  $C_i \neq 0$ , то:  $Q := Q + R[C_i, i]$ .

9. Если  $j = \text{end}(C_i)$ , то  $C_i := \text{getblock}(c_i, j+1)$ .

10. Закончить работу алгоритма. ←

Вычислительная сложность алгоритма 7 оценивается как

$$I_{pm}(l_p, m, k) = m I_{\text{edbl}}(l_p) + \left( k \left( 2^{d_{max}} - 1 \right) + \sum_{i=1}^k \mu(c_i) \right) I_{\text{eadd}}(l_p),$$

а выигрыш по сравнению с алгоритмом 6 –

$$\Delta I = \left( \sum_{i=1}^k l_{c_i} - m \right) I_{\text{edbl}}(l_p).$$

Полученные оценки вычислительной сложности показывают, что арифметические операции на эллиптической кривой выполняются медленнее, чем соответствующие операции на  $GF(p)$  при одинаковой длине  $p$ . В то же время алгоритмы на эллиптических кривых обладают большей стойкостью: 160-битовое простое число в ECDSA соответствует по стойкости 1024-битовому числу в DSA, а 256-битовое – 2048-битовому [2].

#### 4. Результаты экспериментальных измерений вычислительной сложности

В табл. 2 приведены временные характеристики несимметричных преобразований на эллиптических кривых, измеренные на Pentium-200 MMX.

Таблица 2

Длина ключа, бит	Время, мс		
	ECDSA, форми- рование	ECDSA, проверка	ECDH
160	22,7	28,0	22,7
192	31,5	40,3	31,5
224	42,6	55,0	42,6
256	56,5	73,0	56,5

Для сравнения приведем характеристики несимметричных преобразований в поле  $GF(p)$  (табл. 3).

Таблица 3

Длина ключа и модуля, бит	Время, мс		
	DSA, формирование	DSA, проверка	DH
160 / 512	9,7	11,1	9,7
160 / 1024	31,2	37,2	31,2
256 / 2048	170,3	210,4	170,3

Приведенные результаты показывают, что с возрастанием длины ключевых параметров применение эллиптических алгоритмов является все более эффективным с точки зрения производительности: для ECDSA со 160-битовым ключом выигрыш составляет 37%, а для 256-битового ключа – 3 раза.

## 5. Заключение

Полученные результаты показывают, что применение цифровых подписей на эллиптических кривых над полем  $GF(p)$  может дать значительное повышение производительности систем защиты информации. В то же время интерес представляют исследования вычислительной сложности операций на эллиптических кривых над полем  $GF(2^m)$ .

**Список литературы:** 1. *ANSI X9.62. Public Key Cryptography for the Financial Services Industry: The Elliptic Curve Digital Signature Algorithm (ECDSA). Draft.* ANSI, 1998. 2. *IEEE P1363. Standard Specifications for Public-Key Cryptography. Draft.* IEEE, 1999. 3. Горбенко И.Д., Качко Е.Г., Свиначев А.В. Повышение быстродействия алгоритмов арифметики многократной точности // *Безопасность информации*, 1997. №1. С.6-12. 4. Свиначев А.В. Методы и средства комбинированных несимметричных криптографических преобразований информации с уменьшенной вычислительной сложностью. Диссертация на соискание ученой степени кандидата технических наук по специальности 05.13.06. ХТУРЭ, Харьков, 1998. 5. Свиначев А.В. Методы ускорения процедур цифровой подписи класса Эль-Гамала // *Радиотехника. Всеукр. межвед. науч.-техн. сб.* 1997. Вып.104. С.173-178.

Харьковский государственный технический университет радиотехники

Поступила в редколлегию 15.03.2000